

## МОДЕЛЬ ТОКОПЕРЕНОСА НОСИТЕЛЕЙ В ТОНКИХ ФОТОПРЕОБРАЗУЮЩИХ ПЛЕНКАХ НА ОСНОВЕ А-SI:H

**Н.И. Слипченко, М.А. Быков, А.М. Быков\*, С.А. Зуев\*, А.С. Мазинов\*,  
В.А. Бахов\***

Харьковский национальный университет радиоэлектроники,  
пр. Ленина, 14, г. Харьков, 61166

\*Таврический национальный университет им. В.И. Вернадского,  
пр. Вернадского, 4, г. Симферополь, 95007, АРК

Описана физико-математическая модель и методика численных исследований токопереноса фотоносителей в тонких пленках аморфного гидрогенизированного кремния. Приводятся результаты расчетов зависимости фототока от толщины пленки.

### ВВЕДЕНИЕ

Пленки аморфного гидрогенизированного кремния (a-Si:H) в настоящее время получили достаточно широкое распространение как материал для создания микроэлектронных приборов: фотопреобразователей энергии, тонкопленочных транзисторов, диодов и т.п. Характеристики таких устройств определяются как свойствами материалов, так и геометрией, в частности, толщиной пленки аморфного кремния.

Недостаток глубоких знаний о физике процессов, происходящих в структурах на основе неупорядоченных полупроводников, включая процессы транспорта и рекомбинации носителей заряда, отсутствие ясных представлений об их свойствах и закономерностях формирования затрудняет практическую реализацию приборов на их основе.

В работах, посвященных изучению электрических и фотоэлектрических свойств данного материала, измерения и расчеты проводились на пленках, толщина которых более 1 мкм. Технология позволяет создавать приборы на основе пленок меньшей толщины, вплоть до десятков нанометров. Исследования, проведенные в работах [1-3], показали, что величина проводимости и фотопроводимости пленок a-Si:H зависит от их толщины, причем характер изменения данных параметров при изменении толщины различен для нелегированных и легированных пленок a-Si:H.

Целью данной работы являются исследования с помощью численно-аналитической модели и использования экспериментальных данных механизмов переноса и свойств пленок a-Si:H с толщиной, меньшей 1 мкм, когда толщина пленки соизмерима с диффузионной длиной неравновесных носителей и характерными размерами области приповерхностного искривления зон, обусловленного поверхностными состояниями.

### МОДЕЛЬ СТРУКТУРЫ

Решение поставленной задачи наиболее целесообразно проводить в кинетическом приближении. При описании процессов переноса носителей в аморфном кремнии можно использовать модель, предложенную в [2, 3], дополнив ее представлениями из [4]. При этом процесс переноса носителей в аморфном кремнии описывается в терминах прыжковой проводимости для неупорядоченной системы с наличием случайного поля хаотически расположенных заряженных точечных центров. Проводимость описывается переходами носителей между различными локализованными состояниями.

Потенциал внешнего электрического поля в пленке удовлетворяет уравнению Пуассона [4]:

$$\Delta\varphi = -\frac{1}{\epsilon}(\rho(\vec{r}) - \sum_i e_i \int f_i d\bar{v}_i), \quad (1)$$

где  $\rho$  – объемный заряд примесей;  $\sum_i e_i \int f_i d\bar{v}_i$  – объемный заряд, создаваемый свободными носителями. Корреляционная функция случайного поля представляется в виде [5]:

$$\varphi_0(r) = \frac{2\pi n_t e^4}{\epsilon^2} r_0 \exp\left(-\frac{r}{r_0}\right), \quad (2)$$

где  $r_0 = \left(\frac{4\pi n_0 e^2}{\epsilon T}\right)^{1/2} = \alpha^{-1}$  – радиус экранирования;  $n_t$  – концентрация центров;  $e$  – заряд электрона;  $\epsilon$  – диэлектрическая проницаемость образца, а  $r = r_1 - r_2$  – расстояние между двумя точками в образце. Таким образом, внешняя электрическая сила, действующая на носители заряда  $\vec{F} = \nabla_r \psi(\vec{r}, t)$ , где  $\psi = \varphi + \varphi_0$  – потенциал электрического поля в точке его действия на носитель тока.

Кинетическое уравнение для аморфного кремния в стационарном состоянии можно записать в виде, предложенном в [5], переписав правую часть с учетом всех основных процессов генерации и рекомбинации носителей тока.

$$\frac{\partial f_\lambda}{\partial t} = -\sum_{\lambda'} \{W_{\lambda\lambda'} f_\lambda (1 - f_{\lambda'}) - W_{\lambda'\lambda} f_{\lambda'} (1 - f_\lambda)\}, \quad (3)$$

где  $f_\lambda$  – неравновесный диагональный элемент одночастичной матрицы плотности;  $W_{\lambda\lambda'}$  – вероятность перехода между состояниями  $\lambda$  и  $\lambda'$ .

Вероятности перескоков между различными парами центров меняются случайным образом и в широком интервале. В результате изменения заселенности состояний наиболее легкие направления перескоков могут быть блокированными.

Генерация носителей тока характеризуется темпом оптической генерации  $G$ , который зависит от мощности потока излучения, энергии фотонов, вероятности фотопоглощения и глубины. При описании диффузии фотогенерированных носителей заряда можно воспользоваться законом поглощения света Ламберта:  $G = G_0 \exp(-\chi cd)$ , где  $\chi$  – удельный показатель поглощения света в a-Si:H,  $c$  – концентрация вещества;  $d$  – глубина, на которой рассчитывается поглощение.

Для описания фотопроводимости использовались следующие модели рекомбинации:

1) рекомбинация «зона – хвост» происходит при захвате неравновесного носителя из свободной зоны на состояние хвоста противоположной зоны, захватившее перед этим носитель другого знака и действующее как рекомбинационный центр. Количество состояний хвоста увеличивается по мере уменьшения температуры;

2) рекомбинация «хвост – оборванная связь» происходит при туннелировании захваченных носителей из состояния хвостов зон на состояния оборванных связей;

3) рекомбинация «хвост - хвост» - это туннельная рекомбинация между электронами, захваченными на состояния хвоста зоны проводимости, и дырками, захваченными на состояния хвоста валентной зоны.

В [3] показано, что в действительности нужно учитывать все возможные механизмы рекомбинации и выделять из них основной в зависимости от спектра состояний носителей, типа и концентрации дефектов, внешних условий (температура, интенсивность света и т.д.).

При описании процессов рекомбинации носителей и их захвата на соответствующие ловушки использовалась модель, предложенная в [2, 3] и дополненная представлениями, описанными в [5]. Плотность состояний в неупорядоченном полупроводнике при  $|E| >> \sqrt{\psi_1}$  определяется следующим уравнением:

$$\rho(E) = \frac{\psi_1 \exp\left(-\frac{E^2}{2\psi_1}\right)}{2\pi^2 |E|^{3/2}} + \frac{\alpha \cdot \exp\left(-\frac{E^2}{2\psi_1}\right)}{8\sqrt{2\pi}^{3/2} \sqrt{\psi_1}} \left( E - \frac{\alpha |E|^{3/2}}{\sqrt{2\pi\psi_1}} \right), \quad (4)$$

где  $\psi_1 = 2\pi n_i e^4 r_0 / \varepsilon^2$ ;  $E$  – энергия состояния;  $\alpha^{-1} = r_0$  – характерная длина, роль которой играет радиус экранирования.

Определив вероятности генерации и рекомбинации носителей, входящие в правую часть кинетического уравнения, можно решить систему уравнений (1), (3). В аморфном полупроводнике поле, найденное из уравнения (1), дополняется случайной аддитивной добавкой (2). Методика решения рассмотренной выше системы уравнений подробно изложена в [4].

#### РЕЗУЛЬТАТЫ ЧИСЛЕННОГО МОДЕЛИРОВАНИЯ

Расчет проводился для тонких пленок a-Si:H. Результаты расчетов сравнивались с результатами экспериментальных исследований.

В ходе дальнейших расчетов использовались данные работы [1], в которой полупроводниковые пленки a-Si:H были получены на магнетронной установке типа УРМ3.279.026, при давлении в рабочей камере  $10^{-2} - 10^{-3}$  Па, при напряжении и токе мишени – 500-650 В и 1,5-2 А. Скорость роста составляла 0,3-0,4 мкм/мин. Сверху на пленку дополнительно наносились алюминиевые омические контакты с использованием пленочных и металлических масок.

Ширина щели подвижности принималась равной 1,8 эВ. Положение уровня Ферми относительно потолка валентной зоны задавалось равным 1,05 эВ. Для параметров оборванных связей принимались следующие значения:  $E_D = 0,9$  эВ,  $U = 0,3$  эВ. Начальный темп фотогенерации принимался равным  $G_0 = 10^{19} \text{ см}^{-3}\text{с}^{-1}$ . Из полученной экспериментально спектральной зависимости коэффициента поглощения на частотах видимого спектра [1] рассчитывался коэффициент оптической генерации. В результате при решении кинетического уравнения получены зависимости коэффициента прохождения неравновесных носителей  $\eta$  от толщины пленки (рис.1) для разных значений напряженности электрического поля (кривые 1 –  $E=3$  кВ/см, 2 –  $E=8$  кВ/см, 3 –  $E=20$  кВ/см).

Расчет проводимости пленок проводился для аморфного кремния с различной степенью гидрирования в области низких напряженностей внешнего поля (до 3 кВ/см). На рис. 2 представлены результаты экспериментальных исследований (обозначены точками) и численного

моделирования (сплошные кривые) тепловой удельной проводимости  $\sigma$  для различных концентраций водорода (кривые 1 - 10%, 2 - 30%, 3- 40%). Полученные в результате моделирования зависимости удельной проводимости хорошо согласуются с экспериментальными данными.

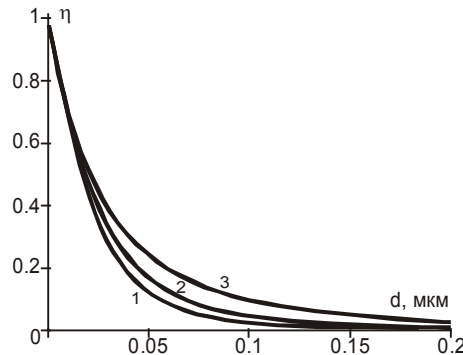


Рисунок 1 – Вероятности прохождения носителей

Как видно из рис. 2, проводимость аморфного кремния возрастает с увеличением концентрации водорода в рабочей камере. Это свидетельствует о том, что при напылении происходит обогащение пленки аморфного кремния водородом, который компенсирует оборванные связи.

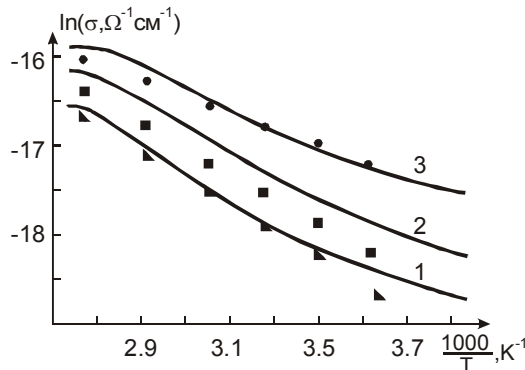


Рисунок 2 – Удельная проводимость a-Si:H пленок, полученных магнетронным методом

Анализ зависимости удельной проводимости от напряженности внешнего поля в пленке на a-Si показал, что, во-первых, удельная проводимость зависит от толщины пленки, во-вторых, при напряжениях порядка 3-5 кВ/см характер зависимости проводимости от напряженности поля меняется (рис.3). Так как с увеличением толщины увеличивается количество фотогенерированных носителей, а вероятность их собирания падает из-за рекомбинационных процессов, должна существовать такая толщина пленки, при которой эти процессы согласуются.

Анализ зависимостей фототока при облучении светом с длиной волны 0,47 мкм от толщины пленки аморфного кремния (рис.4), полученных из расчетов (кривая 1) и экспериментально [6] (кривая 2), показал наличие такой оптимальной толщины.

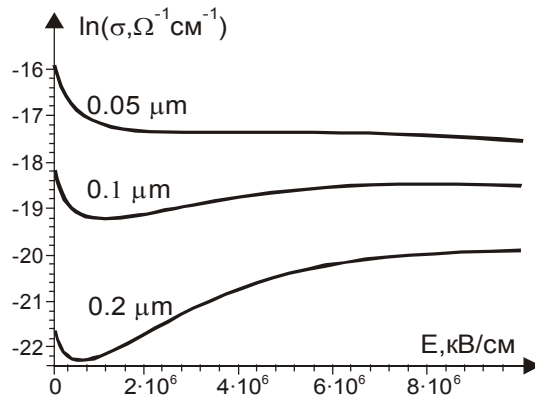


Рисунок 3 – Зависимость удельной проводимости от напряженности внешнего поля а-Si:H пленки

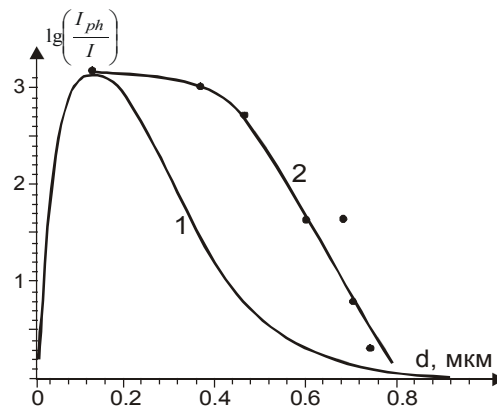


Рисунок 4 – Зависимости фототока от толщины пленки

### ЗАКЛЮЧЕНИЕ

В работе предложена модель, которая адекватно описывает процессы фотогенерации и переноса носителей в а-Si:H. В результате проведенных исследований получены зависимости проводимости пленок от параметров аморфного кремния. Показана зависимость фотопроводимости от толщины пленки аморфного кремния. Установлено, что наиболее эффективно преобразование наблюдается при толщине 0,3-0,4 мкм.

### SUMMARY

#### MODEL CURRENT TRANSFER CARRIERS IN THIN PHOTOREFORMATIVE FILMS ON A BASIS OF a-Si:H

**N.I. Slipchenko, M.A. Bykov, A.M. Bykov\*, S.A. Zuev\*, A.S. Mazinov\*, V.A. Bahov\***  
Kharkov National University of Radio and Electronics, Kharkiv  
\*Tavricheskyi National University, Simferopol

*The physical and mathematical model and technique of numerical researches photocarriers current in hydrogenised thin amorphous silicon films is described. Results of photocurrent dependence from film thickness calculations are presented.*

## **СПИСОК ЛИТЕРАТУРЫ**

1. M.A. Bykov, A.S. Mazinov Optical spectral characteristics of thin-film constructions on the basis of hydrogenated amorphous silicon // Proc. of SPIE - Vol. 6023. - P.60230Q1-60320Q9.
2. Кузнецов С.В., Теруков Е.И. Влияние хвостов зон а-Si:H на заполнение оборванных связей и величину фотопроводимости // ФТП. - 2001. - Т.35, Вып.6. - С.684-686.
3. Кузнецов С.В. Численный расчет температурных зависимостей фотопроводимости а-Si:H р-типа // ФТП. - 2001. - Т.35, Вып.10. - С.1244-1249.
4. Зуев С.А., Старostenko В.В., Терещенко В.Ю., Чурюмов Г.И., Шадрин А.А. Модель ПТШ субмикронных размеров на кремнии // Радиоэлектроника и информатика. - 2004. - №3, Ч.1. - С.47-53.
5. Электронная теория неупорядоченных полупроводников / Бонч-Бруевич В.Л., Звягин И.П., Кайпер Р., Миронов А.Г., Эндерлайн Р., Эсер Б. - М.: Наука, 1981. - 384 с.
6. Hamakawa Y., Tawada Y., Int. J. Sol. Energy, 1, 125 (1982).

**Слипченко Н.И.**, профессор;

**Быков М.А.**, младший научный сотрудник каф. МЭПУ;

**Быков А.М.**, кандидат физ.-мат.наук, доцент каф. общей физики;

**Зуев С.А.**, кандидат физ.-мат.наук, старший преподаватель каф. радиофизики и электроники;

**Мазинов А.С.**, кандидат физ.-мат.наук, доцент каф. радиофизики и электроники;

**Бахов В.А.**, магистрант каф. радиофизики и электроники

*Поступила в редакцию 27 ноября 2008 г.*